

УДК 539.374.1, 422.2

## НЕУСТОЙЧИВОСТЬ ПЛАСТИЧЕСКОЙ ДЕФОРМАЦИИ И РАЗРУШЕНИЕ. ДИАГРАММА ДЕФОРМАЦИИ НЕОДНОРОДНЫХ СРЕД

А. М. Авдеенко

Московский институт стали и сплавов, 117934 Москва

На основе модели нелинейного псевдоконтинуума Коссера построена диаграмма деформации локально-неоднородной среды (пористой структуры либо системы с неперережаемыми частицами). Рассмотрен модифицированный критерий геометрического разрушения, позволяющий установить зависимость момента потери устойчивости пластического течения от статистических характеристик среды.

Поле деформации, возникающее в процессе нагружения среды с порами или частицами второй фазы, неоднородно: частицы (поры) являются концентраторами напряжений и при больших значениях средних деформаций взаимодействуют друг с другом (течение окрестности поры вблизи соседней происходит интенсивнее). Нарастание локальных отклонений изменяет осредненную диаграмму деформации “чистой” (без пор или частиц) среды, причем мера влияния определяется не только концентрацией пор, но и статистикой — взаимным расположением пор (частиц), т. е. корреляционными функциями второго и, возможно, высших порядков.

Процесс разрушения необходимо рассматривать вместе с процессом деформации. В-первых, пластическая деформация инициирует зарождение микротрещин (пор) на структурных неоднородностях — частицах второй фазы, заторможенных полосах сдвига, ослабленных сегрегациями границах зерен. Во-вторых, от величины деформации зависит слияние зародышевых микротрещин в мезотрещину, что ведет к “ямочному” вязкому излому в масштабах  $0,1 \div 10,0$  мкм. Наконец, в-третьих, когда возможность пластической релаксации внешних нагрузок в целом исчерпана, это приводит к образованию магистральной трещины — макроразрушению [1].

Для построения адекватной модели разрушения необходимо прежде всего построить диаграмму деформации пористой среды (среды с частицами второй фазы) с учетом флуктуаций пластической деформации в ней, связать обобщенные параметры диаграммы деформации (например, эффективный показатель упрочнения) со статистикой неоднородности и сформулировать модифицированный критерий геометрического разрушения, позволяющий, в частности, решить задачу структурной оптимизации — найти соотношение количества и распределения частиц второй фазы (пор) при заданной диаграмме “чистой” среды, гарантирующее максимальную макроравномерную деформацию. Для решения этих вопросов необходимо модифицировать рассмотренную ранее в работах [2, 3] статистическую модель нелинейного псевдоконтинуума для учета локальных структурных неоднородностей.

Для статистического описания медленной (склерономной) деформации введем функционал плотности распределений флуктуаций полей смещения  $A_\mu(\mathbf{r})$  ( $\mu = 1, 2, 3$ ):  $f[A_\mu] = \exp(-W[A_\mu])$ . Производящий функционал рассматриваемой системы представим

в виде функционального ряда

$$W[A_\mu] = \int \dots \int \sum_{k=2}^{\infty} \frac{V_k^{\mu p \dots q \nu}(\mathbf{r}_i)}{k} A_{\mu,p} \dots A_{q,\nu} d\mathbf{r}_1 \dots d\mathbf{r}_i \dots \quad (1)$$

Действительные тензоры  $V_k^{\mu \dots \nu}(\mathbf{r}_i)$  ранга  $2k$  назовем вершинами, первые  $k$  индексов ( $\mu = 1, 2, 3$ ) будем относить к компонентам поля смещений  $A_\mu$ , последующие  $k$  индексов ( $\mu = 1, 2, 3$ ) — к пространственным производным  $A_{\mu,p} = \partial A_\mu / \partial x_p$ ,  $\mathbf{r} = (x_1, x_2, x_3)$ .

Изменение поля  $A_\mu(\mathbf{r})$  со временем деформации  $t$  назовем траекторией нагружения  $A_\mu(\mathbf{r}, t)$ . Плотность распределения  $f[A_\mu]$  — монотонная функция  $W[A_\mu]$ , поэтому наиболее вероятному процессу соответствует траектория  $\bar{A}_\mu$ , удовлетворяющая вариационному уравнению  $\delta W[A_\mu] / \delta A_\mu = 0$  при заданных граничных условиях. Его решение  $\bar{A}_\mu$  назовем “классической” траекторией, разность  $\delta A_{\mu,\nu} = A_{\mu,\nu} - \bar{A}_{\mu,\nu}$  — флуктуациями. В дальнейшем ограничимся рассмотрением так называемых “активных” траекторий. Длина

траектории  $s = \int_{t_0}^t \left( \frac{\partial \bar{A}_{\mu,\nu}}{\partial t} \frac{\partial \bar{A}^{\mu,\nu}}{\partial t} \right)^{1/2} d\tau$ , где  $\bar{A}_{\mu,\nu} = \partial \bar{A}_\mu(\mathbf{r}, t) / \partial x_\nu$ , увеличивается в процессе нагружения, “активная” эволюция вдоль “классической” траектории одинакова для всех микрообъемов  $v_i$  (М-образец в терминологии школы А. А. Ильюшина [4]).

Для построения производящего функционала флуктуаций полей деформации разложим функционал (1) в ряд в окрестности “классической” траектории  $\bar{A}_{\mu,\nu}$ . Если в (1) вершины имеют максимальный порядок  $n$ , то вершина флуктуаций  $\bar{V}_k^{\mu \dots \nu}(\mathbf{r}_i)$  имеет вид

$$\bar{V}_k^{\mu \dots \nu}(\mathbf{r}_i) = \bar{V}_k^{\mu \dots \nu}(\mathbf{r}_i) + \int \dots \int \sum_{p=3}^n V_{p,r \dots q}^{\mu \dots \nu}(\mathbf{r}_i, \mathbf{r}'_i) \bar{A}^{r,l}(\mathbf{r}'_1, t) \dots \bar{A}^{s,q}(\mathbf{r}'_p, t) d\mathbf{r}'_1 \dots d\mathbf{r}'_p.$$

Интегрирование по  $\mathbf{r}'_1 \dots \mathbf{r}'_p$  на “М-образце” дает несущественную константу, пропорциональную объему тела в степени  $p - k$ . Тензору  $\bar{A}^{r,l}$  поставим в соответствие вектор в  $m$ -мерном пространстве  $E_m$  ( $m$  — количество независимых компонент тензора  $\bar{A}^{r,l}$ ) и представим комбинацию  $\bar{A}^{\mu,\nu} \dots \bar{A}^{p,s}$  в виде функции внутренней геометрии “классической” траектории — ее длины  $s$ , кривизн  $\vartheta_1(s) \dots \vartheta_{n-1}(s)$  и кручения  $\vartheta_n(s)$  [4]. В этом случае  $\bar{V}_k^{\mu \dots \nu}(\mathbf{r}_i, t) = \bar{V}_k^{\mu \dots \nu}(\mathbf{r}_i, \vartheta_n(s), s)$ . В дальнейшем ограничимся рассмотрением простых процессов (пропорционального нагружения), для которых скалярные кривизны и кручения тождественно равны нулю. Тогда  $\bar{V}_k^{\mu \dots \nu}(\mathbf{r}_i) = \bar{V}_k^{\mu \dots \nu}(\mathbf{r}_i, s)$ , т. е. производящий функционал для простого (пропорционального) нагружения “М-образца” параметризуется вторым инвариантом тензоров производных полей смещения. Черта над вершиной и  $\delta$  перед флуктуациями в дальнейшем опускаются.

Нормированное гауссово среднее с весом  $\exp(-W)$  при  $V_k^{\mu \dots \nu} = 0$  ( $k > 2$ ) назовем свободной корреляционной функцией деформации и представим в виде

$$R_{20}^{\mu \dots \nu}(\mathbf{r}) = C_2^{\mu \dots \nu} R_{20}(\mathbf{r}) = \langle A^{\mu,p}(\mathbf{r}') A^{q,\nu}(\mathbf{r}' + \mathbf{r}) \rangle = \int A^{\mu,p}(\mathbf{r}') A^{q,\nu}(\mathbf{r}' + \mathbf{r}) \exp(-W[A_\mu]) dA_\mu / \int \exp(-W[A_\mu]) dA_\mu. \quad (2)$$

Здесь  $dA_\mu$  — символ континуального интегрирования;  $C_2^{\mu \dots \nu}$  — некоторый симметричный тензор.

Оператор  $V_{20}^{\mu \dots \nu}(\mathbf{r}_i)$ , обратный свободной корреляционной функции  $R_{20}^{\mu \dots \nu}(\mathbf{r})$ , определим с помощью соотношения

$$\int V_2^{\mu \dots \nu}(\mathbf{r}_1, \mathbf{r}'_1) R_{20,mpqn}(\mathbf{r}'_1 - \mathbf{r}_2) d\mathbf{r}'_1 = \delta_m^\mu \delta_n^\nu \delta(\mathbf{r}_1 - \mathbf{r}_2) \quad (3)$$

и назовем свободной вершиной второго порядка. Для системы с  $V_k^{\mu\dots\nu}(\mathbf{r}_i) = 0$  ( $k > 2$ ) свободная вершина второго порядка совпадает с вершиной  $V_2^{\mu\dots\nu}(\mathbf{r}_i)$ . В общем случае, когда  $V_k^{\mu\dots\nu}(\mathbf{r}_i) \neq 0$  ( $k > 2$ ), нормированное двухточечное среднее с весом  $\exp(-W)$  определяет полную корреляционную функцию  $R_2^{\mu\dots\nu}(\mathbf{r})$ . Оператор  $V_2^{\mu\dots\nu}(\mathbf{r}_i)$ , обратный полной корреляционной функции, задается выражением (3) при замене  $R_{20}^{\mu\dots\nu}(\mathbf{r}) \rightarrow R_2^{\mu\dots\nu}(\mathbf{r})$ . Этот оператор учитывает взаимодействия флуктуаций полей деформации (нелинейные эффекты) и в дальнейшем будет называться полной вершиной второго порядка. Полная вершина, вообще говоря, не совпадает с оператором при квадрате полевых переменных в производящем функционале (1), который теперь будет обозначаться  $V_{20}^{\mu\dots\nu}(\mathbf{r}_i)$ .

Положим, что в исходном (ненагруженном) состоянии “классическая” траектория соответствует уравнению равновесия модели упругого псевдоконтинуума Коссера [5]

$$\nabla^2 A_\mu + \frac{1}{1-2\nu} \nabla_\mu (\nabla_\nu A^\nu) - \xi_0^2 \nabla^2 (\nabla^2 A_\mu - \nabla_\mu \nabla^\nu A_\nu) = 0,$$

где  $\xi_0$  — структурный масштаб упругого псевдоконтинуума;  $\nabla_\mu = \frac{\partial}{\partial x_\mu}$ ,  $\nabla^2 = \sum_{i=1}^3 \frac{\partial^2}{\partial x_\mu^2}$ .

Разобьем поле  $A_\mu$  на продольную и поперечную составляющие:  $A_\mu = A_\mu^n + A_\mu^t$ , тогда соответствующие дисторсии  $A_{\mu,\nu}^n = 1/(n\delta_{\mu\nu} A_{k,k})$  и  $A_{\mu,\nu}^t = A_{\mu,\nu} - A_{\mu,\nu}^n$ . Свободную вершину второго порядка представим в виде суммы  $V_{20}^{\mu\dots\nu}(\mathbf{r}_i) = V_{20}^{\mu\dots\nu,n}(\mathbf{r}_i) + V_{20}^{\mu\dots\nu,t}(\mathbf{r}_i)$ :

$$V_{20}^{\mu\dots\nu,n}(\mathbf{r}_i, s \rightarrow +0) = \frac{T_2^{\mu\dots\nu,n}}{V\langle\varepsilon_2^2\rangle} \left[ \frac{3-2\nu}{1-2\nu} \right] \delta(\mathbf{r}_1 - \mathbf{r}_2),$$

$$V_{20}^{\mu\dots\nu,t}(\mathbf{r}_i, s \rightarrow +0) = \frac{T_2^{\mu\dots\nu,t}}{V\langle\varepsilon_1^2\rangle} [1 + \xi_0^2 \nabla^2] \delta(\mathbf{r}_1 - \mathbf{r}_2),$$

где  $\langle\varepsilon_1^2\rangle = V^{-1} \int R_{20\mu\nu}^{\mu\nu,t}(\mathbf{r}) d\mathbf{r}$ ,  $\langle\varepsilon_2^2\rangle = V^{-1} \int R_{20\mu\nu}^{\mu\nu,n}(\mathbf{r}) d\mathbf{r}$  — поперечные и продольные дисперсии флуктуаций полей деформации в ненагруженном состоянии;  $V$  — объем тела.

Можно показать, что в нагруженном состоянии свободные вершины продольных флуктуаций остаются неизменными, а для поперечных принимают вид

$$V_{20}^{\mu\dots\nu,t}(\mathbf{r}_i, s \rightarrow +0) = \frac{T_2^{\mu\dots\nu,t}}{V\langle\varepsilon_1^2\rangle} [\theta(s) + \xi_0^2 \nabla^2] \delta(\mathbf{r}_1 - \mathbf{r}_2),$$

где  $\theta(s) = (1/G) d\tau/ds$  — касательный модуль упрочнения вдоль “классической” траектории, нормированный на модуль сдвига.

Соответствующие свободные корреляционные функции имеют вид

$$R_{20}^{\mu\dots\nu,t}(\mathbf{r}, s) = \frac{C_2^{\mu\dots\nu,t} V \langle\varepsilon_1^2\rangle}{4\pi r \xi_0^2} \exp(r/\xi), \quad R_{20}^{\mu\dots\nu,n}(\mathbf{r}, s) = C_2^{\mu\dots\nu,n} V \langle\varepsilon_{12}^2\rangle \delta(\mathbf{r}_1 - \mathbf{r}_2),$$

где  $C_2^{\mu\dots\nu,t} = \delta^{\mu\nu} e^q e^\nu$ ;  $C_2^{\mu\dots\nu,n} = e^\mu e^\mu e^\nu e^\nu$ ;  $e^\nu$  — единичный вектор в направлении  $\mathbf{r}$ ;  $\xi = \xi_0 \theta^{-\alpha/2}$  — интервал корреляций флуктуаций поперечной деформации;  $\alpha = 1 - (n+2)g_4/2$ , где величина  $g_4$  связана с вершиной четвертого порядка флуктуаций деформации соотношением  $\int V_4^{\mu\dots\nu}(\mathbf{r}_i, s \rightarrow +0) d\mathbf{r}_i = T_4^{\mu\dots\nu} g_4$ ;  $n$  — количество компонент поля  $A_\mu$  [2, 3].

Дисперсии флуктуаций полей поперечной и продольной деформации выражаются соответственно следующим образом:

$$\langle\varepsilon^2(\theta)\rangle = V^{-1} \int R_{20\mu\nu}^{\mu\nu,t}(\mathbf{r}, \theta) d\mathbf{r} = \langle\varepsilon_1^2\rangle \theta^{-\alpha}, \quad \langle\varepsilon^2(\theta)\rangle = V^{-1} \int R_{20\mu\nu}^{\mu\nu,n}(\mathbf{r}, \theta) d\mathbf{r} = \langle\varepsilon_2^2\rangle,$$

и, так как за исключением узкой области в окрестности макроупругости  $\theta \ll 1$  и  $\langle \varepsilon_1^2 \rangle \approx \langle \varepsilon_2^2 \rangle$ , то  $\langle \varepsilon^2(\theta) \rangle \gg \langle \varepsilon_2^2 \rangle$ . В дальнейшем ограничимся рассмотрением статистики лишь поперечных флуктуаций полей деформации.

Безразмерный модуль упрочнения в процессе нагружения уменьшается ( $d\theta/ds < 0$ ), что ведет к степенным особенностям  $\xi(\theta)$ ,  $\langle \varepsilon^2(\theta) \rangle$  с сохранением подобия  $\langle \varepsilon_1^2 \rangle / \langle \varepsilon^2(\theta) \rangle = \xi_0^2 / \xi^2(\theta)$ . Для экспериментальных зависимостей  $\xi(\theta)$ ,  $\langle \varepsilon^2(\theta) \rangle$  для поликристаллов железа [6] и алюминия [2] значение индекса  $\alpha$  лежит в интервале  $1,1 \div 1,2$ . Экстраполяция  $\xi(\theta)$  к ненагруженному состоянию  $s \rightarrow +0$  дает структурный масштаб  $\xi_0 = 25 \div 100$  мкм.

Перейдем к приведенным переменным:  $A_{\mu,\nu} \rightarrow A_{\mu,\nu} \xi_0 V^{-1/2} \langle \varepsilon_1^2 \rangle^{-1/2}$ , тогда в состоянии  $s > 0$  свободная вершина второго порядка  $V_{20}^{\mu\dots\nu}(\mathbf{r}_i) = T_2^{\mu\dots\nu}(\theta(s)\mu^2 + \nabla_\mu \nabla^\mu) \delta(\mathbf{r}_1 - \mathbf{r}_2)$ . После фурье-преобразования

$$V_{20}^{\mu\dots\nu}(\mathbf{p}) = \int V_{20}^{\mu\dots\nu}(\mathbf{r}, \mathbf{r}_1) \exp(i(\mathbf{p}\mathbf{r} + \mathbf{p}_1\mathbf{r}_1)) d\mathbf{r} d\mathbf{r}_1$$

имеем  $V_{20}^{\mu\dots\nu}(p) = T_2^{\mu\dots\nu}(\theta(s)\mu^2 + p^2)$ , где  $\mu = \xi_0^{-1}$ . Отсюда безразмерный модуль  $\theta(s)$  упрочнения в состоянии  $s > 0$  связан с  $V_{20}^{\mu\dots\nu}(\mathbf{p}, \theta)$  соотношением

$$\theta(s) = \lim_{\mathbf{p} \rightarrow 0} (V_{20}(\mathbf{p}, \theta)\mu^{-2}). \quad (4)$$

Учет дисперсных неоднородностей проведем в предположении, что величина  $\lambda^2$  зависит от пространственной координаты:  $\lambda^2 = \lambda^2(\mathbf{r})$ . Определим среднее

$$\bar{\lambda}^2 = V^{-1} \int \lambda^2(\mathbf{r}) d\mathbf{r}$$

и введем случайную функцию  $\varphi(\mathbf{r}) = \mu^{-2}(\lambda^2(\mathbf{r}) - \bar{\lambda}^2)$ .

В исходном состоянии  $s \rightarrow +0$  для сред с заданным структурным масштабом среднее  $\bar{\lambda}^2$  ( $s \rightarrow +0$ ) стремится к величине  $\lambda^2 \rightarrow \mu^2(1 + \eta N_0)$ , где  $N_0$  — объемная доля неоднородностей. Величина  $\eta = (G - G_1)/G$  ( $G_1$  и  $G$  — упругие модули дискретной неоднородности и среды соответственно) определяет тип неоднородности: если структурная неоднородность — пора, то  $\eta = -1$ . В общем случае ( $\eta \geq -1$ ) положительному значению  $\eta$  соответствует частица с бóльшим упругим модулем. Полагается, что неоднородности не образуют связного кластера, их средний размер много меньше структурного масштаба среды, а случайная функция  $\varphi(\mathbf{r})$  реализует дельта-коррелированный (поры либо частицы не перекрывают друг друга) изотропный процесс:  $\langle\langle \varphi(\mathbf{r}_1)\varphi(\mathbf{r}_2) \rangle\rangle = \Delta(\mathbf{r}_1 - \mathbf{r}_2) = \Delta\delta(\mathbf{r}_1 - \mathbf{r}_2)$ , где угловые скобки означают осреднение по всем реализациям случайного поля  $\varphi(\mathbf{r})$ . Для пор  $\Delta = N_0(1 - N_0)$ , для частиц  $\Delta = \eta^2 N_0(1 - N_0)$ .

Производящий функционал для поля  $\varphi$  имеет вид

$$W_1[\varphi] = \int \frac{\varphi^2}{2\Delta} d\mathbf{r},$$

общий производящий функционал для системы с локальными неоднородностями —  $W'[A_\mu, \varphi] = W[A_\mu] + \Delta W[A_\mu, \varphi] + W_1[\varphi]$ , где  $W[A_\mu]$  — производящий функционал в модели нелинейного псевдоконтинуума

$$\Delta W[A_\mu, \varphi] = \int \frac{\mu^2}{2} T_2^{\mu\rho q\nu} \varphi A_{\mu,\rho} A_{q,\nu} d\mathbf{r}.$$

Осредняя систему с производящим функционалом  $W'[A_\mu, \varphi]$  по полю  $\varphi$  в континуальном смысле, получим производящий функционал флуктуаций полей деформации в модели нелинейного псевдоконтинуума с локальными неоднородностями

$$\exp(-W''[A_\mu]) = \int \exp(-W[A_\mu, \varphi]) d\varphi$$

или

$$W'' = -\ln \int \exp(-W[A_\mu, \varphi]) d\varphi,$$

где  $d\varphi$  — символ континуального интегрирования по полю  $\varphi$ .

Нормированные двухточечные средние с весом  $\exp(-W''[A_\mu])$  являются полными корреляционными функциями  $R_2^{\mu\dots\nu}(\mathbf{r})$  в модели нелинейного псевдоконтинуума с неоднородностями. Оператор  $V_2^{\mu\dots\nu}(\mathbf{r}_i)$  (полная вершина второго порядка), обратный  $R_2^{\mu\dots\nu}(\mathbf{r})$ , зависит теперь от статистики неоднородности — величины  $\Delta$ . Соответствующий безразмерный модуль упрочнения по аналогии с (4) определяется соотношением  $\Omega(s) = \lim_{p \rightarrow 0} V_2(\mathbf{p}, \Delta, \theta(s))$ . Эффективное напряжение вдоль “классической” траектории имеет вид

$$\sigma(s) = \int_1^{\theta(s)} \Omega(\theta) \frac{ds(\theta)}{d\theta} d\theta. \quad (5)$$

Таким образом, построение диаграмм деформации для нелинейных сред с заданной статистикой некоррелированных локальных неоднородностей сводится к осреднению функционала  $W'[A_\mu, \varphi]$  по полю  $\varphi$  и вычислению полной вершины второго порядка  $V_2^{\mu\dots\nu}(\mathbf{p})$  в точке  $\mathbf{p} = 0$  с последующим интегрированием (5).

Пусть в исходной модели  $V_k^{\mu\dots\nu}(\mathbf{r}_i) = 0$  ( $k > 2$ ), тогда единственная нелинейность в системе с локальными неоднородностями связана со слагаемым  $\varphi A_{\mu,\nu} A^{\mu,\nu}$ . Дисперсию локальной неоднородности  $\Delta \approx N_0 \ll 1$  будем рассматривать как малый параметр разложения, тогда парная корреляционная функция в модели с неоднородностями в состоянии  $s > 0$  имеет вид  $R_2^{\mu\dots\nu}(\mathbf{p}) = R_{20}^{\mu\dots\nu}(\mathbf{p}) - R_{20}^{\mu\dots\nu'}(\mathbf{p}) \Sigma_{\mu' \dots \nu'}(\mathbf{p}) R_{20}^{\mu' \dots \nu'}(\mathbf{p})$ , где  $R_{20}^{\mu\dots\nu}(\mathbf{p}) = C_2^{\mu\dots\nu}(\mu^2 \theta(s) + p^2)^{-1}$ ,  $\Sigma_{\mu' \dots \nu'}(\mathbf{p}) = \Delta T_{2,\mu' \dots \nu'} \left( \int R_{20}(\mathbf{q}) d\mathbf{q} + 2\Delta \int R_{20}^2(\mathbf{q}) d\mathbf{q} + \dots \right) + O(\Delta^3)$ .

Учитывая, что  $C_2^{\mu\nu pq} T_{2,k\nu pq} = \delta_k^\mu$ ,  $V_2(\mathbf{p}) = R_2^{-1}(\mathbf{p})$ , и разрешая это выражение относительно  $V_2(\mathbf{p})$ , имеем

$$V_2(\mathbf{p}) = V_{20}(\mathbf{p}) + \Sigma(\mathbf{p}, \Delta) = V_{20}(\mathbf{p}) - \bar{\Delta}(\theta) \int R_{20}(\mathbf{q}) d\mathbf{q},$$

где  $\bar{\Delta}(\theta) = \Delta + 2\Delta^2 \int R_{20}^2(\mathbf{q}) d\mathbf{q} + O(\Delta^3)$ .

Переходя к пределу  $\mathbf{p} \rightarrow 0$  и учитывая определение (5), получим выражение для безразмерного модуля упрочнения локально-неоднородной среды в виде

$$\Omega(\theta) = (1 + \eta N_0)(\theta + \mu^{-2} \bar{\Delta}(\theta)) \int R_{20}(\mathbf{q}) d\mathbf{q}, \quad \bar{\Delta}(\theta) = \Delta + 2\Delta^2 \int R_{20}^2(\mathbf{q}) d\mathbf{q} + \dots$$

При вычислении интегралов  $J_1 = \int R_{20}(\mathbf{q}) d\mathbf{q}$ ,  $J_2 = \int R_{20}^2(\mathbf{q}) d\mathbf{q}$  для исключения особенностей необходима регуляризация, определяемая таким образом, чтобы в ненагруженном состоянии  $\Omega(\theta) = \theta(s \rightarrow +0)(1 + \eta N_0) = 1 + \eta N_0$  [3, 6]. Соответствующие регуляризованные интегралы имеют вид

$$J_1(\text{reg}) = \int R_{20}(\mathbf{q}) d\mathbf{q} = -\frac{1}{2} \mu^2 \theta \ln \theta, \quad J_2(\text{reg}) = \int R_{20}^2(\mathbf{q}) d\mathbf{q} = -\frac{1}{2} \ln \theta.$$

Окончательно получаем

$$\Omega(\theta) = (1 + \eta N_0) \theta \left( 1 + \frac{1}{2} \bar{\Delta}(\theta) \ln \theta + \dots \right), \quad \bar{\Delta}(\theta) = \Delta (1 - \Delta \ln \theta + \dots). \quad (6)$$

Соотношений (6) достаточно для построения диаграммы деформации нелинейной среды с неоднородностями: первое соотношение учитывает локальную перегрузку структуры ( $\Omega(\theta) \approx \Delta \ln \theta$ ), второе — эффективное взаимодействие локальных неоднородностей ( $\bar{\Delta}(\theta) \approx \Delta^2 \ln \theta$ ). Существенно, что в полученные соотношения для  $\Omega$  и  $\bar{\Delta}$  не входит величина структурного масштаба  $\xi_0$ .

Уточнение соотношения (6) возможно следующим образом. Введем функции  $F_1(\theta) = \Omega/\theta$ ,  $F_2(\theta) = \bar{\Delta}(\theta)/\Delta$ . Поскольку  $F_1(1) = F_2(1) = 1$ , то справедливы равенства  $F_1(\theta_1)/F_1(\theta_2) = 1/F_1(\theta_1/\theta_2)$ ,  $F_2(\theta_1)/F_2(\theta_2) = 1/F_2(\theta_1/\theta_2)$ , что равносильно системе ре-нормгрупповых уравнений

$$\theta \frac{d \ln \Omega}{d\theta} = \theta \left. \frac{d \ln \Omega}{d\theta} \right|_{\theta=1} + \frac{d \ln \Omega}{d\Delta} \frac{d\Delta}{d\theta} \Big|_{\theta=1}, \quad \theta \frac{d\bar{\Delta}}{d\theta} = \theta \left. \frac{d \ln \Delta}{d\theta} \right|_{\theta=1}.$$

Решение этой системы при начальном условии  $\Omega(s \rightarrow +0) = 1 + \eta N_0$  имеет вид

$$\Omega(\theta) = (1 + \eta N_0) \theta \exp \left( \int_{\Delta}^{\bar{\Delta}} \frac{A(\Delta)}{B(\Delta)} d\Delta \right),$$

где  $A(\Delta) = \left. \frac{d \ln \Omega}{d \ln \theta} \right|_{\theta=1}$ ;  $B(\Delta) = \left. \frac{d\bar{\Delta}}{d\theta} \right|_{\theta=1}$ .

Первые члены разложения  $\Omega(\theta)$  по  $\Delta$  совпадают с выражением (4), однако приближение более точное за счет эффективного суммирования слагаемых, содержащих сколь угодно высокую степень  $\Delta$ .

Выполняя вычисления в первом приближении  $\Delta$ , имеем

$$\Omega(\theta) = (1 + \eta N_0) \theta^{1+\nu(\theta)}, \quad (7)$$

где  $\nu(\theta) = (1/2) \ln(1 + 2\Delta \ln \theta) / \ln \theta = (1/2) \bar{\Delta}(\theta) \approx \Delta(1 - \Delta \ln \theta)^{-1} + O(\Delta^3)$ .

Подстановка (7) в (5) позволяет получить диаграмму деформации “чистой” среды ( $N_0 = 0$ ), учитывающую статистику неоднородности.

Явное интегрирование (5) возможно лишь в первом порядке по  $\Delta$  для некоторых частных зависимостей  $\theta(s)$ . Пусть “классическая” траектория в истинных координатах аппроксимируется зависимостью  $\sigma(s) = \sigma_0 s^m$  ( $m < 1$ ).

В ненагруженном состоянии ( $s \rightarrow +0$ )  $\theta(s) \approx s^{m-1} \rightarrow \infty$ , поэтому ограничимся рассмотрением деформации  $s \geq s_1$ , при этом  $\lim_{s \rightarrow s_1} \theta(s) \rightarrow 1 - 0$ . Отсюда соответствующее значение напряжения  $\sigma(s_1) = \sigma_1 = m^{-1}(\sigma_0 m)^{1/(1-m)}$ . Подставляя эту зависимость в (3), после интегрирования получим  $\sigma(\theta) = (1 + \eta N_0) \sigma_1 (1 + (m/M)(\theta^{M/(m-1)} - 1)) = (1 + \eta N_0) \sigma_1 (1 + (m/M)((s/s_1)^M - 1))$ , где  $M = m - \Delta(1 - m)$ .

Для большинства пластичных материалов  $\sigma_0 = (2 \div 9) \cdot 10^{-3}$  (истинное напряжение нормируется модулем сдвига),  $m = 0,2 \div 0,3$  [1], отсюда  $s_1 = 10^{-4} \div 10^{-3}$  и для реальных процессов  $s/s_1 \gg 1$ , поэтому  $\sigma(s) \approx \sigma_0 s^M$ . Показатель упрочнения  $M$  всегда меньше показателя для “чистой” среды, причем относительная погрешность  $(M - m)/m = \Delta(1 - m)/m \approx \eta^2 N_0(1 - m)/m$  увеличивается с увеличением  $N_0$ ,  $\eta$  и уменьшением  $m$ . В области малых  $N_0 < 0,02$  величина  $(M - m)/m$  сравнима с дисперсией воспроизводимости показателя упрочнения “чистой” среды  $\delta m/m$ , и ее вкладом можно пренебречь [7]. Уменьшение безразмерного модуля упрочнения  $\theta$  ведет к увеличению  $\Delta$ , т. е. к уменьшению величины  $M$  независимо от знака  $\eta$  (при  $-\Delta \ln \theta \approx 1$  необходимо учитывать высшие порядки теории возмущений).

Для активного простого нагружения определим эффективный показатель упрочнения

$$M(\theta) = \frac{d \ln \sigma(\theta)}{d \ln \theta} \frac{d \ln \theta}{d \ln s} = \frac{\Omega(\theta)s(\theta)}{\sigma(\theta)},$$

где  $s(\theta)$  — истинная деформация;  $\Omega(\theta)$ ,  $\sigma(\theta)$  — эффективный модуль упрочнения и напряжение соответственно.

В ненагруженном состоянии  $s \rightarrow +0$  ( $\theta \rightarrow 1 - 0$ ), поэтому  $\sigma(\theta \rightarrow 1 - 0) = \lim_{s \rightarrow +0} \theta(s)s(\theta)$  и  $M(s \rightarrow +0) = 1$  (упругая система).

Рассмотрим простой активный процесс — одноосное растяжение. Пусть  $\Sigma$  — текущее сечение образца,  $F$  — приложенная сила. Пластическое течение устойчиво при  $dF = -\sigma d\Sigma + \Sigma d\sigma > 0$  или  $d \ln \sigma / d \ln s > s$ , поскольку  $d\Sigma = -\Sigma ds$ . В противном случае  $d \ln \sigma / d \ln s < s$  макрооднородное течение неустойчиво: при одноосном растяжении образуется шейка ( $d \ln \sigma / d \ln s = s$ ). Для степенной аппроксимации истинной диаграммы  $\sigma = \sigma_0 s^m$  решение уравнения  $d \ln \sigma / d \ln s = s$  принимает наиболее простой вид  $s_p = m$ . При  $s > m$  течение устойчиво, при  $s < m$  происходит локализация.

Учет флуктуационных поправок в рамках рассматриваемой концепции требует замены показателя  $m$  эффективной величиной  $M(\theta)$ . Модифицированный критерий потери устойчивости течения принимает вид

$$M(\theta) - s(\theta) = 0 \quad (8)$$

или

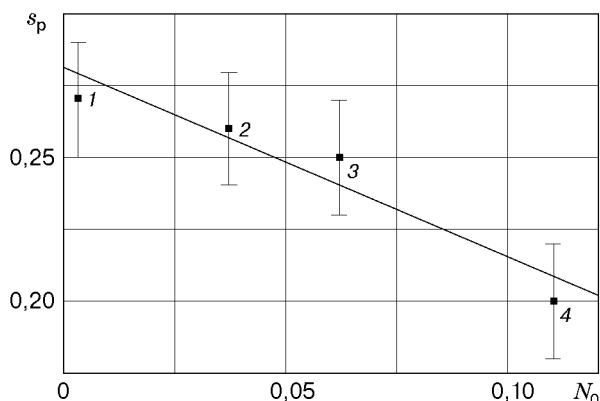
$$\sigma(\theta) - \Omega(\theta) = 0. \quad (9)$$

Единственное решение уравнений (8), (9) относительно  $\theta$  (величина  $\theta_p$ ) и соответствующая равномерная деформация  $s_p$  зависят от дисперсии  $\Delta$  и параметров диаграммы деформации, поскольку  $\theta(s)$  — гладкая убывающая функция истинной деформации.

В нулевом приближении теории возмущений  $s_p^0 = m$ , в высших приближениях необходимо численное решение уравнений (8), (9). Для пористой структуры на основе чистого железа ( $\sigma_0 = 8,63 \cdot 10^{-3}$ ,  $m = 0,31$ ,  $\eta = -1$ ) получены следующие результаты: увеличение концентрации пор уменьшает равномерную деформацию с  $s_p \approx 0,27$  при  $N_0 = 0,05$  до  $s_p \approx 0,14$  при  $N_0 = 0,15$ . Если  $\Delta \ll m/(1 - m)$ , можно пренебречь изменением величины  $\Delta$  в процессе нагружения:  $\Delta \ll \ln^{-1} \theta_p^0$ , где  $\theta_p^0 = \theta_p|_{s=m} \ll 1$ . Тогда  $s_p(\Delta) = s_p(0) - \Delta(1 - m)$ , где  $s_p(0) = m$  — макроравномерная деформация “чистой” среды. Для пористой структуры  $\Delta = N_0(1 - N_0)$ , тогда при  $N_0 \ll 1$

$$s_p(N_0) = m - N_0(1 - m). \quad (10)$$

Сопоставим это соотношение с экспериментом для пористого железа, полученного спеканием и компактированием с различной объемной долей пор  $N_0$  [7]. Технологические поры распределены изотропно и равномерно. Их диаметр  $1,5 \div 3,0$  мкм много меньше структурного масштаба  $\xi_0 = 20 \div 30$  мкм упругого псевдоконтинуума, определенного для матрицы из статистики рельефа деформации [6]. На рисунке представлена зависимость макроравномерной деформации (одноосное растяжение) от концентрации пор  $N_0$  по данным [7] с учетом стандартной оценки среднеквадратичного отклонения. Увеличение концентрации пор приводит к уменьшению макроравномерной деформации с примерно 0,27 при  $N_0 = 0,003$  до примерно 0,2 при  $N_0 = 0,1$ . В области  $N_0 < 0,11$  зависимость  $s_p(N_0)$  линейна:  $s_p(N_0) = (0,279 \pm 0,009) - (0,659 \pm 0,145)N_0$ . Свободный член  $0,279 \pm 0,009$  и угол наклона  $0,659 \pm 0,145$  в пределах ошибки воспроизводимости совпадают с показателем упрочнения основы (чистого железа)  $m = 0,27 \pm 0,02$  и величиной  $1 - m = 0,63 \pm 0,02$  соответственно, что согласуется с (10) и подтверждает правомерность предложенной схемы построения диаграммы деформации неоднородной среды.



Равномерная деформация пористого железа:

1 —  $N_0 = 0,003$ ; 2 —  $N_0 = 0,037$ ; 3 —  $N_0 = 0,062$ ; 4 —  $N_0 = 0,110$

Таким образом, когда среднее расстояние между изотропными порами  $N_0^{-1/3}$  не менее 2–3 диаметров пор, равномерная деформация пористой структуры хорошо определяется по диаграмме деформации сплошной среды в пределе дельта-коррелированной модели с учетом лишь двухточечных корреляционных функций полей деформации, хотя рост пор и зарождение микротрещин в явном виде не учитываются вплоть до значений истинных деформаций примерно 0,2.

Рассмотренная модель представляет собой лишь первое приближение реальной структуры локально-неоднородной среды. Эффекты следующего порядка связаны, очевидно, с размещением частиц второй фазы (пор) кластерами, когда интервал корреляции (полупериод структуры)  $l_k$  может быть сравним с величиной структурного масштаба  $\xi_0$ . Это требует учета поправок порядка  $l_k/\xi_0$  к величине  $\Delta$ .

## ЛИТЕРАТУРА

1. Штремель М. А. Прочность сплавов. М.: Моск. ин-т стали и сплавов, 1997. Ч. 2.
2. Авдеенко А. М. Критические явления при пластической деформации // Металлофизика. 1990. Т. 2, № 5. С. 7–12.
3. Авдеенко А. М. Скейлинг структурно-неоднородных сред // Изв. АН СССР. Металлы. 1992. № 9. С. 64–67.
4. Ильюшин А. А. Механика сплошных сред. М.: Изд-во Моск. ун-та, 1978.
5. Лихачев В. А., Малинин В. Г. Структурно-аналитическая теория прочности. СПб.: Наука. С.-Петербург. отд-ние, 1993.
6. Авдеенко А. М., Кузько Е. И., Штремель М. А. Развитие неустойчивости пластической деформации как самоорганизация // Физика твердого тела. 1994. № 10. С. 3158–3161.
7. Spitzig W. A., Smelser R. E., Richmond O. The evolution of damage and fracture in iron compacts with various initial porosities // Acta Metall. 1988. V. 36, N 5. P. 1201–1211.

Поступила в редакцию 16/VII 1999 г.,  
в окончательном варианте — 11/X 1999 г.